

Synthesis of LaF₃:Ce³⁺/Tb³⁺ Crystals via Solvothermal Method and Functionalization

Yi Zhang

Yi Li Normal University, Yining Xinjiang
Email: zs0327@163.com

Received: Jul. 19th, 2015; accepted: Aug. 7th, 2015; published: Aug. 10th, 2015

Copyright © 2015 by author and Hans Publishers Inc.
This work is licensed under the Creative Commons Attribution International License (CC BY).
<http://creativecommons.org/licenses/by/4.0/>



Open Access

Abstract

The LaF₃:Ce³⁺/Tb³⁺ crystals were prepared using solvothermal method, at 160°C for 12 h in the mixed solvents of ethanol and glycol. The as-prepared LaF₃:Ce³⁺/Tb³⁺ crystals were functionalized with Poly(acrylic acid). IR absorption spectra showed that the carboxyl group (-COOH) is on the surface of LaF₃:Ce³⁺/Tb³⁺ crystals. Under 275 nm excitation, the emission peaks of LaF₃:Ce³⁺/Tb³⁺ and COOH-LaF₃:Ce³⁺/Tb³⁺ crystals locate at 526 nm. Moreover, the fluorescent intensity of the functional LaF₃:Ce³⁺/Tb³⁺ is lower.

Keywords

Solvothermal Method, Poly(acrylic acid) (PAA), Functionalized Materials, LaF₃

溶剂热法制备LaF₃:Ce³⁺/Tb³⁺晶体及功能化

张 艺

伊犁师范学院，新疆 伊宁
Email: zs0327@163.com

收稿日期：2015年7月19日；录用日期：2015年8月7日；发布日期：2015年8月10日

摘要

采用溶剂热法，乙醇和乙二醇为混合溶剂，160℃条件下，反应12小时，成功制备了LaF₃:Ce³⁺/Tb³⁺晶

体。并用聚丙烯酸(PAA)对材料进行了功能化，红外吸收光谱显示材料表面成功修饰上羧基(-COOH)。以275 nm为激发波长， $\text{LaF}_3:\text{Ce}^{3+}/\text{Tb}^{3+}$ 及COOH- $\text{LaF}_3:\text{Ce}^{3+}/\text{Tb}^{3+}$ 晶体的发射波长均为526 nm，而功能化的 $\text{LaF}_3:\text{Ce}^{3+}/\text{Tb}^{3+}$ 荧光强度较低。

关键词

溶剂热法，聚丙烯酸(PAA)，功能化材料， LaF_3

1. 引言

稀土发光材料因其稳定的化学和物理性质、窄的发光谱带、低的光漂白、高的量子产率及不易受外界环境影响等特点，使其被广泛应用于光源器件、荧光探针、生物传感材料、癌症诊断等领域[1][2]。常见的稀土无机发光材料主要是含有稀土离子的氧化物、硫化物、氟化物、磷酸盐和钒酸盐等。常用的制备方法有共沉淀法[3]、溶胶-凝胶法[4]、燃烧法[5]、水热-溶剂热法[6]、高温油相反应法[7]等。

功能化稀土发光材料即在稀土发光材料表面修饰上官能团。使得修饰后的稀土发光材料具有生物相容性便于应用于生物、环境检测领域。常用的功能化方法有：Lay-by-Lay (LBL)包裹法[8]、配体交换法[9]、聚合物包裹法[10]、二氧化硅包裹法[11]等。Wang [12]等用溶剂热法成功合成了 $\text{LaF}_3:\text{Ce}^{3+}/\text{Tb}^{3+}$ 纳米材料，并利用 LBL 技术在材料表面修饰上羧基(-COOH)，羧基功能化的材料成功应用在 DNA 的检测。本文在混合醇溶剂中，用溶剂热法制备出 $\text{LaF}_3:\text{Ce}^{3+}/\text{Tb}^{3+}$ 晶体，并用超声包裹法将聚丙烯酸(PAA)修饰在晶体上，合成 PAA- $\text{LaF}_3:\text{Ce}^{3+}/\text{Tb}^{3+}$ 功能化材料，不仅增加了材料的亲水性，还使材料带有生物活性官能团(羧基)，便于材料应用在荧光成像、核酸检测、重金属污染检测等领域。

2. 实验

2.1. 试剂与仪器

0.5 mol/L $\text{La}(\text{NO}_3)_3 \cdot 6\text{H}_2\text{O}$ 水溶液；0.5 mol/L $\text{Tb}(\text{NO}_3)_3 \cdot 6\text{H}_2\text{O}$ 水溶液；0.5 mol/L $\text{Ce}(\text{NO}_3)_3 \cdot 6\text{H}_2\text{O}$ 水溶液；HOCH₂CH₂OH (分析纯)；聚丙烯酸(M.W~3000, 分析纯) 1.0 mol/L NaF 水溶液；实验用水为二次蒸馏水。

CYIYE-Q1 型移液器(上海求精生化试剂仪器有限公司)；FA2104N 型电子天平(上海民桥精密科学仪器有限公司)；79-1 型磁力加热搅拌器(北京市永光明医疗仪器厂)；pHSJ-5 型 pH 计(上海精密科学仪器有限公司)；GZX-9146MBE 型数显鼓风干燥箱(上海博讯实业有限公司医疗设备厂)；TGL-16C 型高速台式离心机(上海安亭科学仪器厂制造)。

2.2. $\text{LaF}_3:\text{Ce}^{3+}/\text{Tb}^{3+}$ 材料的制备

$\text{LaF}_3:\text{Ce}^{3+}/\text{Tb}^{3+}$ 晶体的制备方法：搅拌条件下，在10 mL乙二醇和20.00 mL无水乙醇的混合溶剂中分别加入0.9 mL的 $\text{La}(\text{NO}_3)_3 \cdot 6\text{H}_2\text{O}$ 溶液、50 μL $\text{Tb}(\text{NO}_3)_3 \cdot 6\text{H}_2\text{O}$ 溶液和50 μL $\text{Ce}(\text{NO}_3)_3 \cdot 6\text{H}_2\text{O}$ 溶液。搅拌均匀后，逐滴加入2 mL NaF水溶液，再继续搅拌30 min。然后转移至带聚四氟乙烯内衬的不锈钢反应釜中，将其放入烘箱，160°C条件下加热12 h。反应结束后，待温度降到室温，倒去反应釜里上清液，釜底的白色固体就是 $\text{LaF}_3:\text{Ce}^{3+}/\text{Tb}^{3+}$ 沉淀，将其分散在水中，转速为5500 r/min，离心8 min，同样的方法用蒸馏水洗涤3次，除去残留的溶剂，80°C烘干样品，备用。

2.3. 聚丙烯酸(PAA)对 $\text{LaF}_3:\text{Ce}^{3+}/\text{Tb}^{3+}$ 材料的包裹

称取一定量 $\text{LaF}_3:\text{Ce}^{3+}/\text{Tb}^{3+}$ 样品，加到20 mL无水乙醇和10 mL蒸馏水混合溶液中，再加入1 mL聚

丙烯酸，超声 48 h 后，得到 PAA- $\text{LaF}_3:\text{Ce}^{3+}/\text{Tb}^{3+}$ 功能材料。用去离子水离心清洗三次，离心清洗后的样品超声分散在 50 mL 去离子水中，备用。

3. 结果与讨论

用 XRD-6000 型 X-射线粉末衍射仪获得样品的 XRD，辐射源为 Cu， $\text{K}\alpha$ 辐射， $\lambda = 1.054060 \text{ \AA}$ ，扫描范围 $2\theta = 20^\circ \sim 80^\circ$ ；用 LS-55 型荧光分光光度计测得样品的发射光谱和激发光谱；用 Prestige-21 型红外光谱仪(日本 Shimadzu 公司)测样品的红外吸收光谱。

3.1. $\text{LaF}_3:\text{Ce}^{3+}/\text{Tb}^{3+}$ 纳米晶的 XRD 表征

图 1 为制备的 $\text{LaF}_3:\text{Ce}^{3+}/\text{Tb}^{3+}$ 晶体的 X 射线衍射图谱(XRD 图)。图可知，谱图的衍射峰分别对应(110)、(111)、(112)、(113)、(212)、(220)、(310)、(320)、(115)、(411)、(403)、(314)等晶面。其衍射峰与标准卡片号为 72-1435 立方相的 LaF_3 晶体相符合，无明显杂质峰，说明纯度高、结晶好。

3.2. 红外谱图分析

红外光谱均在 Prestige-21 型傅里叶变换红外光谱仪上测定(KBr 压片)，图 2 给出了 PAA- $\text{LaF}_3:\text{Ce}^{3+}/\text{Tb}^{3+}$ 晶体红外吸收谱图。图中 3443 cm^{-1} 处吸收峰对应着-COOH 基的 $\nu_{\text{O-H}}$ 峰， 2958 cm^{-1} 为 PAA 中饱和烷烃-CH₂ 的特征峰， 1726 cm^{-1} 处吸收峰是-COOH 基中的 $\nu_{\text{C=O}}$ 特征峰，在 1571 cm^{-1} 和 1465 cm^{-1} 两峰为-COOH 基中 ν_{COO} 的对称和不对称伸缩振动峰， 1428 cm^{-1} 为 $\nu_{\text{C-O}}$ 特征峰，说明聚丙烯酸中的-COOH 与 La 发生了键合。由此，可以确定聚丙烯酸已成功修饰于 $\text{LaF}_3:\text{Ce}^{3+}/\text{Tb}^{3+}$ 晶体外表面上。

3.3. 晶体的荧光性能

图 3 为晶体的发射光谱。图可知，275 nm 为激发波长时， $\text{LaF}_3:\text{Ce}^{3+}/\text{Tb}^{3+}$ 发射峰位于 526 nm。275 nm 的激发峰是 Ce³⁺ 的 4f-5d 的能级跃迁产生的。发射峰位于 450~650 nm 之间，属于 Tb³⁺ 的 $^5\text{D}_4$ - $^7\text{D}_1$ 能级跃迁产生的绿色发射。由图还可发现，功能化羧基前后的发射峰的峰位不变，但功能化后的荧光强度有所降低。

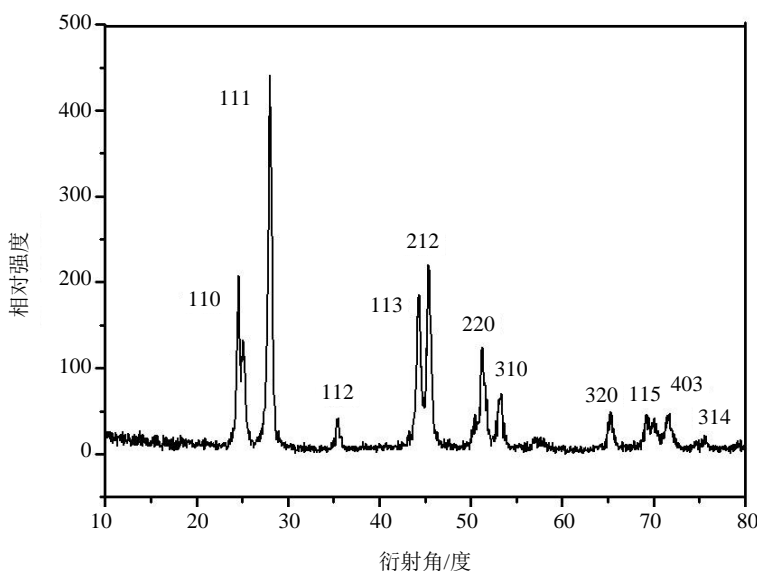


Figure 1. X-ray diffraction patterns of crystals

图 1. 晶体的 XRD 图

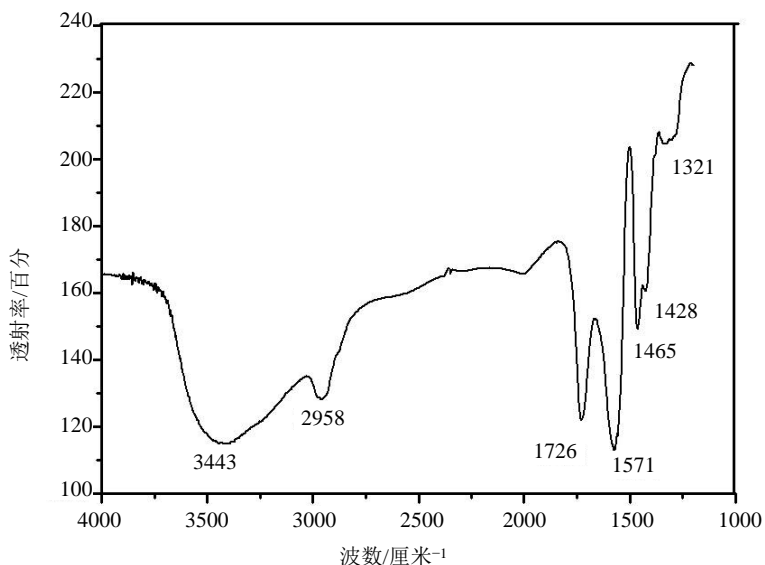


Figure 2. FTIR spectra of crystals

图 2. 晶体的红外谱图

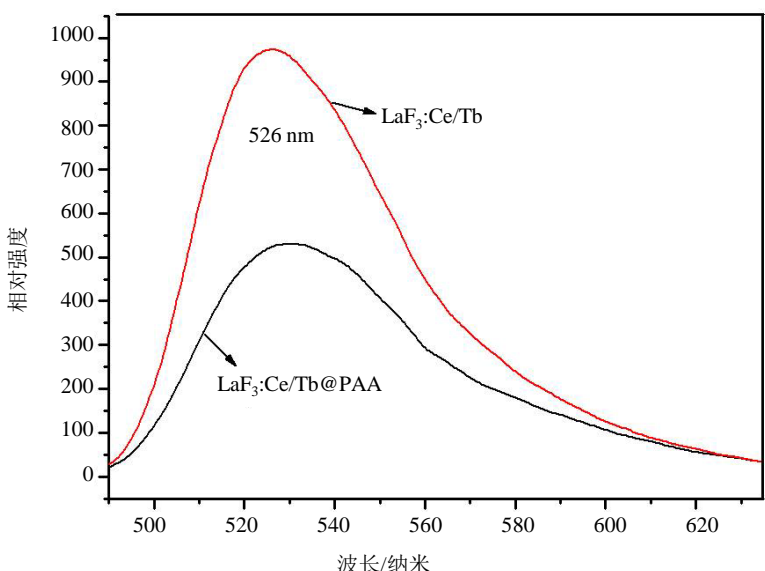


Figure 3. Luminescent spectra of crystals

图 3. 荧光光谱

4. 结论

用简单的溶剂热方法制备了 $\text{LaF}_3:\text{Ce}^{3+}/\text{Tb}^{3+}$ 晶体，利用超声微乳包裹技术将聚丙烯酸包裹在 $\text{LaF}_3:\text{Ce}^{3+}/\text{Tb}^{3+}$ 材料表面，合成出羧基功能化的 PAA- $\text{LaF}_3:\text{Ce}^{3+}/\text{Tb}^{3+}$ 材料。荧光材料表面游离的羧基使其在水溶液中具有良好的分散性，同时羧基的存在可以与生物分子上的氨基发生键合，使材料具有生物相容性。因而这类材料是种理想的生物标记材料，有望在生物传感器及生物成像分析领域得到广泛应用。

基金项目

新疆维吾尔自治区高等学校科研计划项目资助(XJEDU2013S40)。

参考文献 (References)

- [1] Xia, H.R., Li, L.X., Zhang, H.J., et al. (2000) Raman spectra and laser properties of Yb-doped yttrium orthovanadate crystals. *Journal of Applied Physics*, **1**, 269-273. <http://dx.doi.org/10.1063/1.371855>
- [2] Giesber, H., Ballato, J., Chumanov, G., et al. (2003) Spectroscopic properties of Er³⁺ and Eu³⁺ doped acentric LaBO₃ and GdBO₃. *Journal of Applied Physics*, **11**, 8987-8994. <http://dx.doi.org/10.1063/1.1536724>
- [3] 李兴民 (2006) 共沉淀法合成长余辉材料及其特性研究. 硕士论文, 河北大学, 保定市.
- [4] Veith, M., Mathur, S., Kareiva, A., et al. (1999) Low temperature synthesis of nanocrystalline Y₃Al₅O₁₂(YAG) and ce-doped Y₃Al₅O₁₂ via different sol-gel method. *Journal of Materials Chemistry*, **12**, 3069-3079. <http://dx.doi.org/10.1039/a903664d>
- [5] 曹霄峰 (2007) 金属氧化物纳米材料的溶液燃烧法制备、表征及性能研究. 硕士论文, 安徽师范大学, 芜湖市.
- [6] Wang, L.Y. and Li, Y.D. (2007) Controlled synthesis and luminescence of lanthanide doped NaYF₄ nanocrystals. *Chemistry of Materials*, **4**, 727-734. <http://dx.doi.org/10.1021/cm061887m>
- [7] Yi, G.S., Chow, G., et al. (2006) Synthesis of hexagonal-phase NaYF₄:Yb,Er and NaYF₄:Yb,Tm nanocrystals with efficient up-conversion fluorescence. *Advanced Functional Materials*, **18**, 2324-2329. <http://dx.doi.org/10.1002/adfm.200600053>
- [8] Wang, L.Y., Yan, R.X., Hou, Z.Y., et al. (2005) Fluorescence resonant energy transfer biosensors based on upconversion luminescent nanoparticles. *Angewandte Chemie International Edition*, **44**, 6054-6057. <http://dx.doi.org/10.1002/anie.200501907>
- [9] 李丹 (2010) 硫基乙酸修饰对六角相 NaYF₄:Yb,Er 上转换发光纳米材料的影响. 硕士论文, 吉林大学, 长春.
- [10] Yi, G.S. and Chow, G.M. (2006) Water-soluble NaYF₄:Yb,Er(Tm)/NaYF₄/polymer core/shell/shell nanoparticles with significant enhancement of upconversion flurescence. *Chemistry of Materials*, **3**, 341-343.
- [11] Liu, T., Wang, Y., Qin, H.J., et al. (2011) Gd₂O₃:Eu³⁺@ mesoporous SiO₂ bifunctional core-shell composites: Flurescence lable and drug release. *Materials Research Bulletin*, **46**, 2296-2303. <http://dx.doi.org/10.1016/j.materresbull.2011.08.056>
- [12] Dong, L., Yang, Z.H., Zhang, Y., et al. (2010) Novel luminescent nanoparticles for DNA detection. *Spectrochimica Acta Part A*, **5**, 1530-1534. <http://dx.doi.org/10.1016/j.saa.2010.02.011>